FACULDADE DE TECNOLOGIA DE ALIMENTOS UNIVERSIDADE ESTADUAL DE CAMPINAS

AVALIAÇÃO DA RESISTÊNCIA TÉRMICA DAS CÉLULAS BACTERIANAS PELO MÉTODO DE AQUECIMENTO PROGRAMADO

José de Jesús Ibarra León Engº Bioquímico

Orientador:

Dr. Fumio Yokoya Professor da Faculdade de Tecnologia de Alimentos

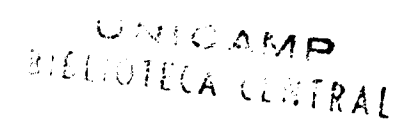
Tese apresentada à Faculdade de Tecnologia de Alimentos da Universidade Estadual de Campinas, para obtenção do título de Mestre em Ciências em Tecnologia de Alimentos.

Aos meus pais, Rosalva e Francisco

A minha esposa, Rosalva

e ā minha filha brasileira, Xochitl Patricia,

com muito carinho.



INDICE

			págins	
I	-	INTRODUÇÃO	1	
II	-	REVISÃO BIBLIOGRÁFICA	3	
III	-	MATERIAIS E MÉTODOS	11	
IV	-	RESULTADOS	15	
v	-	DISCUSSÃO	30	
VI	-	CONCLUSÕES	32	
VII	-	BIBLIOGRAFIA	33	
VIII	-	APÊNDICE	35	

RESUMO

O método de temperatura programada para avaliar a resistên cia de fatores termicamente vulneraveis, desenvolvido por Hayakawa et al. (1969), foi testado para verificar a possibilidade do seu uso na medição da resistência ao calor das células de Staphylo coccus aureus.

Os resultados indicam que o método é aplicavel para a deter minação da resistência de células microbianas ao calor, com a van tagem de se necessitar menos equipamento e ser mais rápido que qualquer dos métodos descritos anteriormente.

SUMMARY

The method of programmed heating to evaluate the resistance of thermally vulnerable factors, developed by Hayakawa et al. (1969), was tested to verify the possibility of its use in the measurement of the resistance to heat of cells of Staphylococcus aureus.

The results indicate that the method is applicable to the determination of the resistance of microbial cells to heat, with the advantage that it requires less equipment and is quicker than any of the methods described previously.

I- INTRODUÇÃO

No calculo de letalidade da pasteurização e esterilização de alimentos por calor, dois aspectos são de fundamental importância:

- (1) Penetração de calor, que trata da distribuição de calor durante o período de tratamento térmico; e,
- (2) Resistência microbiana, que cuida do aspecto de destruição por calor das diferentes espécies e formas de microrganismos, responsáveis pela deterioração de alimentos ou causadores de perigo à saude pública.

No tocante à resistência dos microrganismos ao calor, é im portante lembrar que além das diferenças hereditárias ditadas pe las características das diferentes espécies ou linhagens, os fato res extrínsecos como meio de cultivo, meio de suspensão, idade das células e meio de sub-cultura influenciam na resistência aparente ao calor. Assim sendo, para que se tenha certeza da condição de pasteurização ou esterilização adequados, é necessário analizar o comportamento dos microrganismos no alimento em questão e nas condições específicas de processamento.

Desde que Bigelow e Esty (1920) descreveramo primeiro méto do para medir a resistência térmica das esporas bacterianas, muitas outras técnicas foram desenvolvidas por diversos autores, para me dir a resistência dos microrganismos a diferentes temperaturas e condições de tratamento térmico. Esses métodos são descritos na revisão bibliografica do presente trabalho.

Um metodo recente, desenvolvido por Hayakawa et al (1969) me rece atenção especial. O metodo foi desenvolvido para determinar a destruição das enzimas e propriedades quimicas do alimento durante a pasteurização ou esterilização. Seria de grande interesse verificar a possibilidade de usar esse metodo para determinar também os parametros de resistencia térmica dos microrganismos pois o me

todo é rápido, simples e requer pouco aparelhagem de laboratório.

O presente trabalho visa a verificar a possibilidade de aplicar o método para avaliar a resistência ao calor das células de Staphylococcus aureus.

II- REVISÃO BIBLIOGRÁFICA

A- Parametros de Resistência térmica

As caracteristicas de resistência de fatores termicamente vulneraveis representam-se geralmente pelas chamadas curva de sobrevivência e curva de destruição térmica (Ball e Olson, 1957; Stumbo, 1965), as quais são representadas nas figuras 1 e 2.

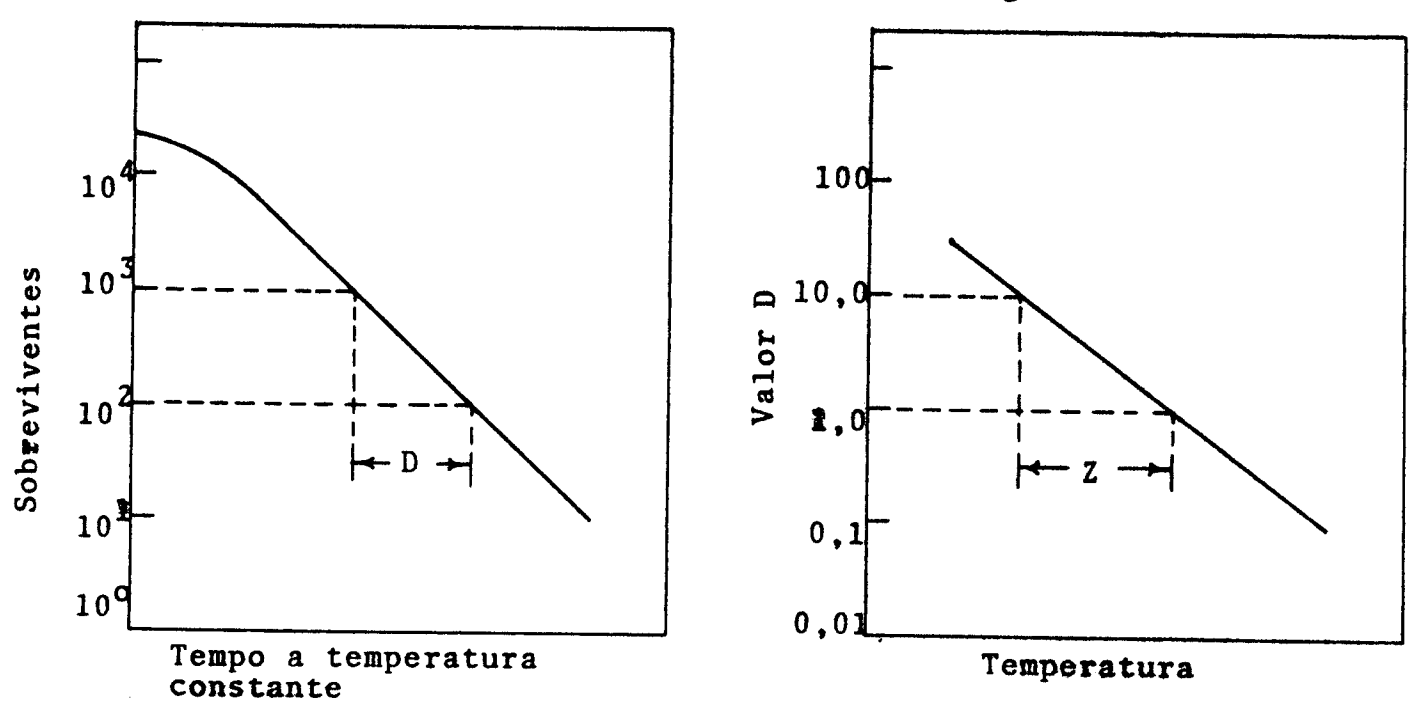


Figura 1 - Curva de sobreviven

Figura 2 - Curva de destruição térmica

A curva de sobrevivencia representa o número de sobreviven tes quando as amostras são tratadas a temperatura letal e constante. Dessa curva obtem-se o valor, D, chamado também tempo de redução decimal e que representa o tempo em minutos necessários para destruir 90% de uma população microbiana.

A curva de destruição térmica, construida com valores D e suas temperaturas correspondentes, é definida por um índice de de clive ou valor Z e um valor D de referência; sendo Z o número de graus (Centigrados ou Farhenheit), necessários para diminuir 90% no valor D.

B- Métodos Tradicionais na Avaliação da Resisten cia Térmica de Microrganismos

Stumbo (1965) fez uma descrição detalhada das técnicas de la boratório usadas na avaliação da resistência térmica de microrga nismos, classificando-as da seguinte maneira:

- l Método do tubo TDT: Bigelow e Esty (1920) propuseram este método, que foi utilizado nos primeiros estudos sistemáticos de resistência térmica com temperaturas acima de 100°C. O material usado consistia de um banho provido de resistências elétricas, regulador de temperatura, agitador mecânico e como meio de aquecimen to um líquido de ponto de ebulição elevado. A suspensão microbiana era colocada em pequenos tubos de ensaio cujo diâmetro variava en tre 7 e 10 mm. Os tubos eram selados com chama de maçarico. Depois do tratamento térmico, prepararam-se as diluições e contaram os sobreviventes semeando-se em placas de Petri com um meio apropria do.
- 2 Método da lata TDT: Procedimento desenvolvido pela American Can Company (1943) para estudos de resistência térmica de bactérias e esporos bacterianos, cujos valores obtidos foram utilizados no calculo de processamento térmico desenvolvido também por esta companhia. O equipamento utilizado, denominado Unidade TDT, constou de uma pequena autoclave (15 cm de diâmetro e 30 cm de altura) com entradas de vapor, água fria, termômetro e manômetro, e com controle de vapor bastante preciso. A suspensão microbiana ou um alimento sólido inoculado era posto em pequenas latas (208 x 006), Após a recravação, as latas eram colocadas na autoclave. Depois do tratamento térmico, as latas eram incubadas diretamente ou feitas as diluições do conteúdo para contagem de sobreviventes.
- 3 Método do Tanque: Proposto por Williams et al.(1937) para estudo de resistência térmica com amostragem intermediária e obtenção de dados de sobreviventes antes da destruição total da população microbiana. Consistiu de uma câmara cilindrica de aço inoxi

dável, circundada por uma camisa de vapor. As dimensões eram aproximadamente 10 cm de diâmetro por 12 cm de altura, com uma capacidade máxima de 900 ml. Da parte inferior da câmara saíam 4 tubos com suas respectivas válvulas para amostragem. Também, possuía um mecanismo de agitação e uma entrada para termômetro. A câmara e seus dispositivos eram esterilizados com o próprio vapor da camisa por meio de válvulas que comunicavam todas as partes em contato com o produto.

Para ensaios, a suspensão microbiana era colocada e aquecida até a temperatura desejada. As amostras eram tiradas a intervalos de tempo previamente estabelecidos, resfriadas rapidamente em água gelada e inoculada diretamente em placas ou tubos, ou depois de preparar diluições para contagem de sobreviventes. A temperatura do tratamento era controlada pela pressão de vapor na camisa.

- 4 Método do Frasco: Este método, descrito por Levine, et al. (1927) consistia de um frasco de destilação de 3 bocas. Na primeira boca era colocado um termômetro, na boca do meio um agita dor, e a terceira utilizada para inoculação é retirada das amos tras. O frasco era submerso em um banho de temperatura termostaticamente controlada para ensaios de resistência térmica de microrga nismos. Townsend et al. (1956) descreveram um procedimento seme lhante utilizando o mesmo tipo de frasco.
- 5 Método do Tubo Capilar; Stern e Proctor (1954), cons truiram um aparelho que consistia de duas panelas de aço inoxidã vel e cuja função era a de conter os meios de aquecimento e res friamento. A panela para aquecimento estava provida com um agita dor mecânico, um termostato, um termômetro e um elemento aquecedor. As duas panelas estavam montadas sobre uma armação de latão. Uma placa de aluminio, perfurada para a colocação dos capilares, era acoplada a panela para aquecimento, que ligava automaticamente sistema de cronometragem, quando submersa no banho, e desligava quando a placa era retirada para por na panela de resfriamento. Depois do tratamento térmico, os tubos eram quebrados para

tivo incubados num meio apropriado. Resende (1969), introduziu al gumas modificações neste método para obter a transferencia mais rápida dos tubos capilares do meio de aquecimento para o de resfriamento.

- 6 Método do Termorresistômetro: O aparelho foi desenhado por Stumbo (1948), consistindo de um corpo metálico com 3 camaras de vapor que podiam ser operadas independentemente. Uma placa de aço inoxidável com 6 furos para acomodar as amostras, contidos em pequenos copos, funcionava como transportador. A câmara do meio funcionava como meio de aquecimento com vapor controlado, uma das câmaras laterais estava provida de tubos contendo o meio de cultura para receber o produto termicamente tratado. Possuía um sistema automático para medição do tempo de tratamento, controlado por dois micro-interruptores, que eram ligados quando as amostras en travam na câmara central e desligados quando a válvula de vapor era fechada.
- 7 Método do tubo TDT não selado: Schmidt (1950) desenhou este método, que evitava a necessidade de selar tubos, fechando-os somente com tampões de algodão. O tratamento térmico era feito nu ma autoclave em miniatura, cujas dimensões eram de aproximadamente 15 cm de diâmetro por 30 cm de altura. Esse aparelho possuía tubu lações e válvulas para introduzir vapor, ar comprimido e água in dispensáveis nos ensáios. A temperatura das amostras era medida com termelétricos. Depois do tratamento térmico, introduzia-se o ar comprimido na autoclave, seguido de água fria para o resfriamento da suspensão tratada. Para o cultivo de sobreviventes, adicio nava-se diretamente meio de cultura apropriado na suspensão contida nos tubos. O método era usado principalmente para estudo de resistencia térmica a temperaturas de 115º a 126ºC.

C. Análise dos Dados de Resistência Térmica.

Segundo Stumbo (1965), são dois os procedimentos comumente empregados na análise dos dados de sobreviventes, para avaliar os parâmetros de resistência térmica, a saber:

1 - Construção de curvas de sobrevivencia a temperatura constante, colocando o logarítmo do número de sobreviventes nas ordena das e o tempo nas abicissas. Da curva obtida, pode-se calcular o valor D para essa temperatura de tratamento. Na figura 3 está apresentado um exemplo obtidos em ensãios feitos com esporos de Bacillus coagulans 43P (Yokoya e York, 1965) a temperatura de 96°C.

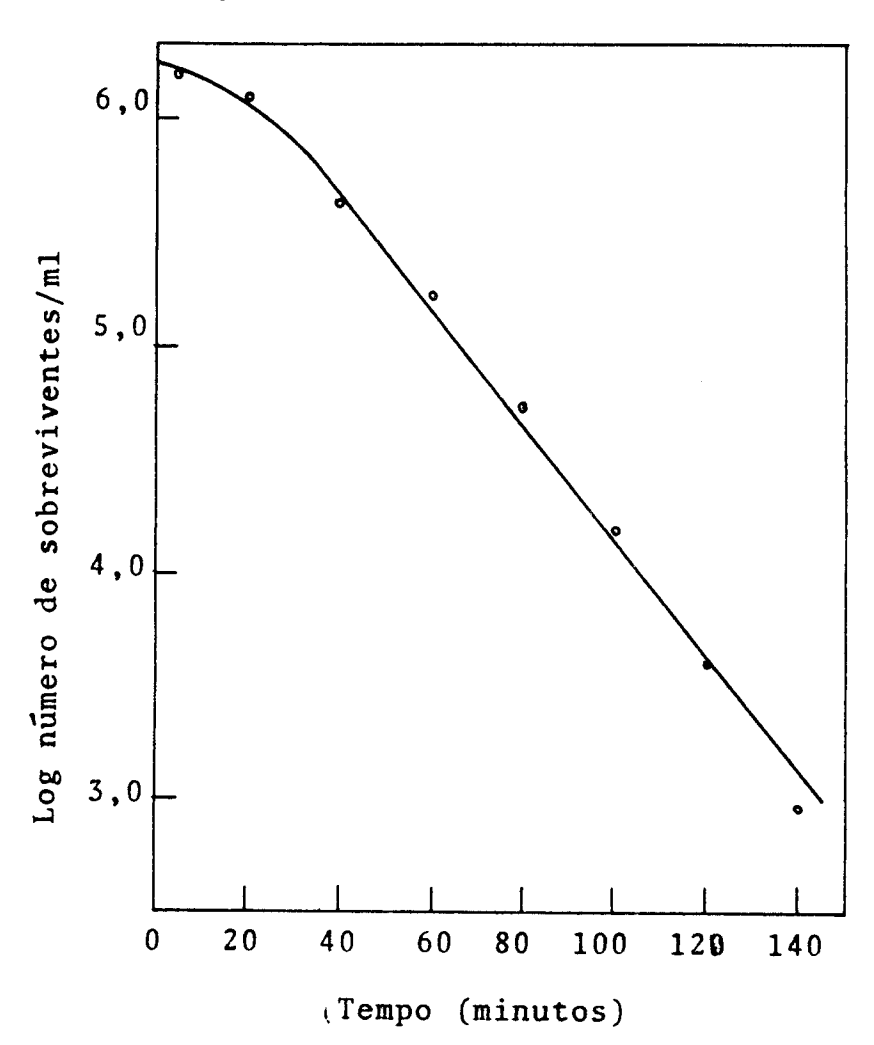


Figura 3: Curva de sobreviventes dos esporos de <u>Bacillus</u> coagulans 43P submetidos a tratamento térmico de 96°C (Dados de Yokoya e York, 1965).

2 - Supor uma ordem logarítmica de morte e calcular o valor D a partir da população inicial e do número de sobreviventes de pois de um tempo determinado de tratamento, a temperatura constante. O número de sobreviventes pode ser obtido por contagem em pla

ca ou pelo método do número mais provável (NMP). Nesse último caso os sobreviventes são calculados segundo a equação de Halvorson and Zeigler (1932).

$$b = 2,303 \qquad \log n \qquad q$$

onde:

- b- NMP de sobreviventes por ml de suspensão tratada
- a- Volume em m1 de cada amostra tratada
- n- Número total de amostras retiradas para cada tempo de trat $\underline{\mathbf{a}}$ mento a temperatura constante
- q- Numero de amostras de um mesmo tempo de tratamento, que n $\tilde{\mathbf{a}}$ o apresentaram crescimento

Conhecido b, calcula-se o valor D pela seguinte equação (Stumbo, 1965):

$$D = \underbrace{t}$$

$$\log a - \log b$$

onde:

- a- População microbiana inicial por volume unitário
- b- Número de sobreviventes por volume unitário depois de um tempo t de tratamento.
 - t- Tempo de tratamento a temperatura constante

O seguinte exemplo de Stumbo (1965) para um ensaio no ter morresistômetro, com uma suspensão de esporos (ativados a 100 Q por 0.46 minutos) de P.A. 3679, cuja concentração inicial foi de 2.560.000 esporos/ml, ilustra o metodo. Quando o tratamento em amostras de 0,01 ml de suspensão acima foi de 115,5°C por 25 minutos

obteve-se crescimento em 2 dos 6 tubos tratados, pelo que o NMP foi calculado da seguinte maneira:

$$b = 40,55 \text{ esporos/ml}$$

O valor D é obtido pela seguinte equação:

$$D = \underbrace{t}_{\log a - \log b}$$

$$D = \frac{25}{\log 2.560.000 - \log 40,55}$$

D = 5.20 minutos

D- Método de Temperatura Programada

Hayakawa et al (1969) desenvolveram um método para avaliar a resistência de fatores termicamente vulneraveis, que consiste no tratamento das amostras a temperaturas crescentes, obtendo-se da dos de sobreviventes a tempos e temperaturas variaveis. Com os da dos obtidos e utilizando fórmulas deduzidas da equação para o cal culo de letalidade de processamento térmico, calculam-se os valo res Z e D do fator considerado.

1 - Fundamento do Método:

Na avaliação do valor letal de um processamento térmico, é necessário conhecer o valor Z do fator termicamente vulnerável con siderado. São indispensáveis, também, os dados de penetração de calor no produto tratado. Com estes dois tipos de dados, calcula-se a letalidade do tratamento aplicado.

No método desenvolvido por Hayakawa et al (1969),calculam-se os valores Z e D a partir dos dados de penetração de calor e número

de sobreviventes, obtidos para 5 eu 6 amostras retiradas num mes mo experimento. O método é aplicavel assumindo-se as seguintes con dições:

- (a) A distribuição da temperatura na amostra deve ser uniforme
- (b) A curva de destruição térmica deve ser uma linha reta
- (c) As curvas de sobrevivencia devem ser lineares, exceto para a porção curvilínea inicial
- (d) Quando se introduz um termelétrico na amostra, este não deve influenciar na temperatura real da suspensão.

Destas, os postulados "b" e "c" têm sido comprovados experimentalmente (Ball & Olson, 1957; Stumbo, 1965).

A condição "a" é obtida quando as dimensões do recipiente que contem a amostra são relativamente pequenas, de tal forma que a temperatura seja praticamente igual em todos os pontos da suspen são. A condição "d" deve ser conseguida se o diâmetro do termelé trico for bastante pequeno em relação ao diâmetro do tubo que contem a amostra.

III- MATERIAIS E MÉTODOS

A - Materiais

- 1- Microrganismos: Os testes foram conduzidos com <u>Staphylo</u> coccus aureus, Nº 50, da coleção de microrganismos da Faculdade de Tecnologia de Alimentos da Universidade Estadual de Campinas.
- 2- Meio de Cultivo: As células microbianas foram obtidas cultivando-se por 24 horas em meio BHI (Brain Hearth Infusion) da DIFCO, catálogo nº 37.
- 3- Meio de Contagem; A contagem de sobreviventes foi feita em Agar Nutriente da DIFCO, catálogo nº 1.
- 4- Banho para tratamento com aquecimento programado: Foi usa do um recipiente de parede dupla de aço inoxidável, contendo no es paço intermediário revestimento de amianto para reduzir a perda de calor pelas paredes. As dimensões externas eram: 33cm de diâmetro e 23 cm de altura. O aquecimento foi obtido usando-se uma ou duas resistências com revestimento de cobre, de 1000 Watts cada.
- 5- Banho para tratamento a temperatura constante: Usou-se um banho com controle automático de temperatura e agitação mecânica constante de líquido por palhetas. O aparelho é provido de relê e termostato de mercurio com precisão de + 0.1 C.
- 6- Monitor de temperatura: A temperatura dos diferentes pontos foi registrada por meio de termelétricos de Cobre-- Constantam revestidos com aço inoxidável, fabricados seguindo as especifica ções da Ecklund (1949). O terminal destes termelétricos era acoplado a um registrador eletrônico de temperatura de resposta rápida (leitura de 0,25 segundos) fabricado pela Doric Scientific, Inc.
- 7- Meio de suspensão: As células microbianas, após lavagem, foram suspensas em água salina 0,85% (Collins, 1969), para o seu tratamento térmico.
- 8- Tratamento de células: A suspensão microbiana foi aquecida em pequenos tubos de ensaio de 9,5 mm de diâmetro externo por 100 mm de comprimento e 1 mm de espessura, fechados com tampões de borracha; aproximando-se ao método do tubo TDT não selado.

- 9- Centrifuga: Foi usada uma centrifuga refrigerada de alta velocidade, modelo B20-A, da International Equipment Co.
- 10- Aparelho Ultrassom: Foi utilizado um vibrador últrassom do tipo banho, da Heat Systems Ultrasonic.
- 11- Incubador-Agitador: Foi usado um incubador-agitador fe chado G-25, da New Brunswick Scientific.

B- Métodos:

- 1- Preparo da suspensão microbiana: Num frasco Erlenmayer de 500 ml, contendo 100 ml de meio BHI esterilizado a 121° C por 15 minutos, inoculou-se com uma alçada da cultura e incubou-se a 37°C por 24 horas sob agitação a 250 rpm. Depois da incubação, to maram-se 10 ml da suspensão microbiana, centrifugando-se a 3,300 g (5000 rpm) por 5 minutos, eliminando-se o sobrenadante e ressuspen dendo-se com 30 ml de solução salina 0,85% esterilizada, Em dada tubo foram colocados 2 ml desta suspensão para os ensaios de trata mento térmico.
- 2- Tratamento térmico: Para aquecimento programado foram utilizadas duas velocidades de incremento de temperatura: Uma rápida com incremento de 3°C por minutos e outra lenta de 1,4°C por minuto. Nos ensaios para tratamento a temperatura constante foram utilizadas 55° e 60°C.
- 3- Contagem de sobreviventes: As amostras tratadas termica mente foram resfriadas imediatamente em água fria; após as diluições adequadas com água salina 0,85%, semeou-se um ml de cada uma das três ultimas diluições em placas de Petri com Agar Nutriente derretido e resfriado a 45°C (em triplicata). Após a solidificação, as placas foram incubadas a 37°C por 48 horas e fez-se a contagem de número de sobreviventes.
- 4- Calculo dos parametros de resistencia térmica: Para se aplicar o método de aquecimento programado, foi necessario fazer a distinção entre 2 configurações diferentes, obtidas quando se co locaram em gráficos os dados de incremento de temperatura da sus pensão. Tais configurações eram as seguintes: (i) Uma linha reta

em coordenadas cartesianas; (ii) Uma combinação de segmentos de li nhas retas em coordenadas cartesianas.

Quando a curva de incremento era uma linha reta em coordena das cartesianas, utilizaram-se as seguintes equações (Hayakawa et al 1969) na avaliação dos parâmetros de resistência térmica:

$$\frac{\log (C_3/C_2)}{\log (C_2/C_1)} = \frac{10^{(T_3-T_2)/z} - 1}{1 - 10^{(T_1-T_2)/z}}$$
(1)

$$Dr = \frac{z}{\log(Ce^{-1/Ce)} \ln D} \cdot \frac{D^{(Te-1-Tr)/z}}{2e} \cdot \frac{D^{(Te-Te-1)/z}-1}{2e}$$
(2)

onde:

C1, C2, C3 - Sobreviventes nas amostras 1, 2 e 3.

T1, T2, T3 - Temperaturas atingidas nas amostras 1, 2 e 3

Tr - Temperatura de referência

1 - Amostra 2 ou 3

Al - Declive da curva de penetração de calor

Quando a curva de incremento de temperatura era uma combina ção de segmentos de linhas retas, utilizaram-se as equações (Haya kawa et al 1969) seguintes na avaliação dos valores Z e D:

$$\frac{Q_{j} \log (C_{j}/C_{j-1})}{Q_{j-1} \log (C_{j-1}/C_{j-2})} = \frac{10^{(T_{j}-T_{j-1})/z}-1}{1-10^{(T_{j-2}-T_{j-1})/z}}$$
(3)

$$Dr = \frac{z}{\log(C_{\ell-1}/C_{\ell}) \ln 10} \cdot 10^{(T_{\ell-1}-T_r)/z} \cdot \frac{10^{(T_{\ell}-T_{\ell-1})/z} - 1}{\alpha_{\ell}}$$
(4)

onde:

j, j-1, j-2, j-3, ..., j-n - numero da amostra corresponde ao segmento j, j-1, j-2, j-3,...,j-n.

1- j-1 ou j

Tr- Temperatura de referencia

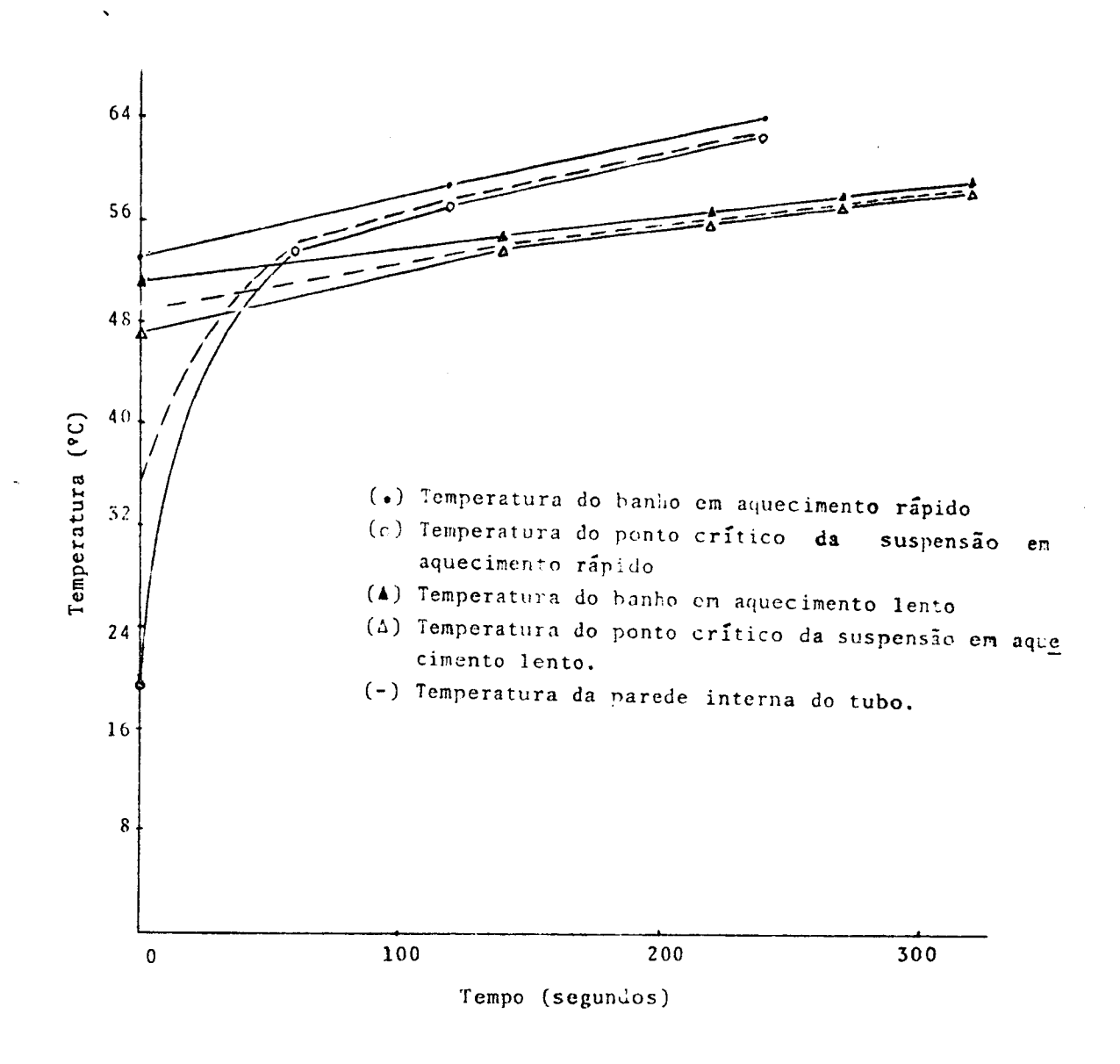
Al- Declive do segmento 1

IV RESULTADOS

A. Curva de Incremento de Temperatura no Aquecimento Programado.

A FIGURA 4 mostra o incremento de temperatura do banho, da parede interna do tubo e do ponto crítico da suspensão de células, respectivamente aos ensaios de aquecimento rápido e lento. A temperatura no ponto crítico foi aquela do eixo central e a 20 mm do fundo do tubo. A diferença de temperatura entre a do banho e do ponto crítico em um dado momento não foi superior a 1°C para o ensaio com aquecimento rápido e 0,6°C para o de aquecimento lento, exceto nos primeiros 2 minutos.

FIGURA 4 - Curvas de Incremento de Temperatura Para Aquecimento Programado.



B. Resistência Térmica Determinada pelo Método de Aque cimento Programado.

(1) Aquecimento rápido

Os resultados obtidos nos 3 experimentos feitos com incremento rápido de temperatura (3°C por minuto), são apresentados na TABELA 1.

· TABELA 1 - Resultados de Sobreviventes Para o Experimento de Temperatura Programada (aquecimento rapido).

Amostra	Temperatura (°C)	Tempo (min)	Sobreviventes (Nº/ml)	Sobreviventes (%)	Declive (°C/min)
Primeira I	Repetição				
1	31,4	0	3.2×10^8	100,00	
2	53,7	1	$2,2 \times 10^{8}$	68,75	18,30
3	57,6	2	$6,7 \times 10^{7}$	20,93	3,90
4	60,6	3	$5,1 \times 10^5$	0,16	3,00
Segunda R	Repetição				
1	11,4	0	$4,3 \times 10^{8}$	100,00	
2	52,4	1	$2,6 \times 10^{8}$	60,46	41,0
3	56,2	2	$9,0 \times 10^{7}$	20,93	3,8
4	59,2	3	$3,4 \times 10^6$	0,79	3,0
5	61,7	4	$8,8 \times 10^{3}$	0,002	2,5
Terceira R	epetição				
1	9,5	0	$5,06 \times 10^8$	100,00	
2	53,4	1	$3,13 \times 10^8$	61,85	43,90
3	57,1	2	$3,36 \times 10^{7}$	6,64	3,70
4	62,4	4	$4,0 \times 10^3$	0,0008	2,65

Os dados obtidos foram colocados num gráfico (FIGURA 5) locam do-se o logarítmo da porcentagem de sobreviventes contra a temperatura e a curva mais apropriada foi obtida visualmente. Dessa curva foram tiradas as porcentagens de sobreviventes correspondentes a 6 temperaturas selecionadas, mostradas na TABELA 2.

FIGURA 5 .- Curva de sobreviventes para aquecimento programado, incremento rápido.

- (.) Primeira repetição
- (o) Segunda repetição

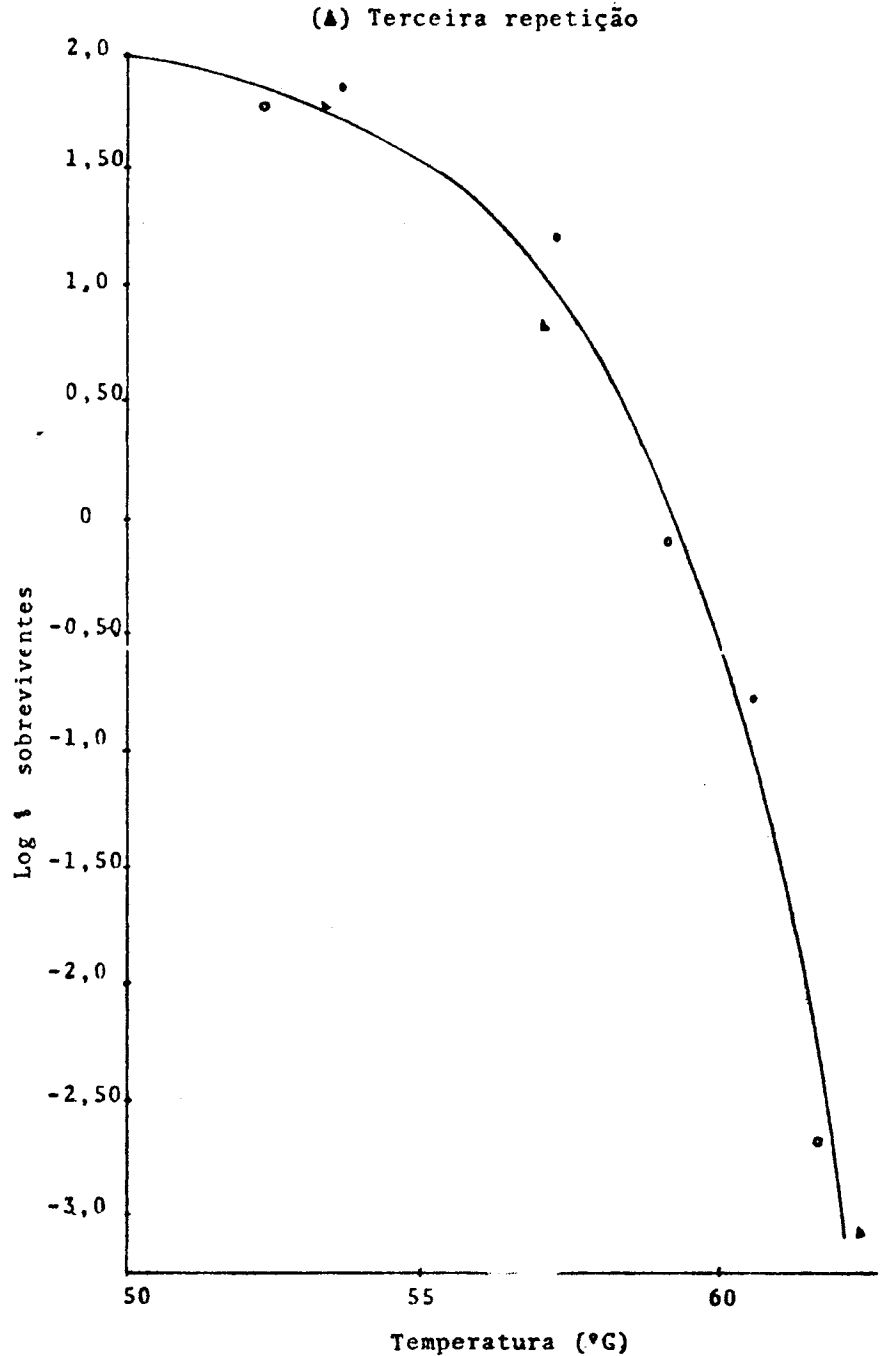


TABELA 2 - Resultados de Sobreviventes Obtidos Graficamente dos Experimentos Com Temperatura Programada (aquecimento rápido).

Amostra	Temperatura	Log % Sobreviventes
1	52,0	1,900
2	56,0	1,425
3	58,0	0,825
4	59,0	0,300
5	60,5	-0,850
6	61,5	-2,175

⁽²⁾ Aquecimento Lento: Os resultados para a primeira série de 4 experimentos, estão apresentados na TABELA 3.

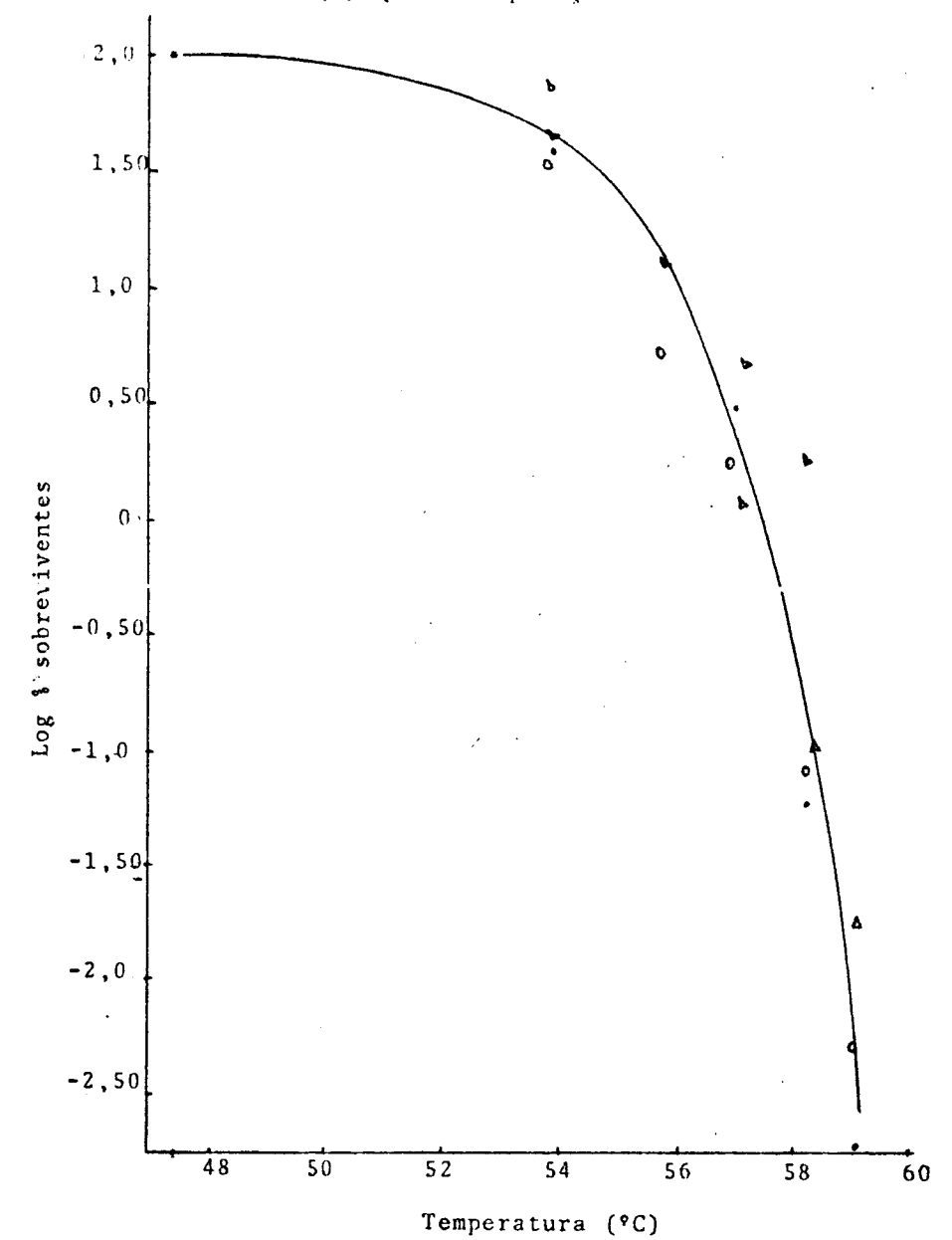
TABELA 3 - Dados de sobreviventes para o experimento com temperatura programa da (aquecimento lento).

Amostra	Temperatura (°C)	Тетро (seg)	Sobreviventes (Nº/ml)	Incremento Temperatura (°C/min)
Primeira 1	repetição			
1	47,3	0	227×10^{7}	
2	53,8	140	207 x 10 ⁷	2,78
3	55,7	220	$317,3 \times 10^6$	1,42
4	57,0	270	72×10^5	1,56
5	58,2	320	132×10^4	1,44
6	59,0	355	30×10^3	1,37
Segunda Re	epetição			
1	47,3	0	146×10^6	• •
2	53,3	94	49 x 10 ⁶	4,14
3	55,7	196	$82,3 \times 10^{5}$	1,11
4	57,0	252	$85,6 \times 10^4$	1,39
5	58,2	298	$111,3 \times 10^3$	1,78
6	59,0	335	$73,5 \times 10^2$	1,29
Terceira R	Repetição		•	
1	47,3	0	$149,6 \times 10^{7}$	
2	53,8	136	$67,6 \times 10^{7}$	2,86
3	55,7	214	189,6 x 10 ⁶	1,46
4	57,0	265	67 x 10 ⁶	1,53
5	58,2	312	$272,3 \times 10^5$	1,53
6	59,0	351	******	1,23
Ouarta Rep	<u>etição</u>		_	
1	47,3	0	$121,3 \times 10^{7}$	
2	53,8	132	$115,3 \times 10^{7}$	2,95
3	55,7	207		1,52
4	57,0	257	136×10^5	1,56
5	58,2	302	$111,3 \times 10^{4}$	1,60
6	59,0	339	225×10^3	1,29

A FIGURA 6 mostra a destruição dos microrganismos quando o incremento de temperatura foi de 1,4 °C/min. Essa figura foi obtida locando-se o logarítmo da porcentagem de sobreviventes contra a temperatura.

FIGURA 6 .- Curva de sobreviventes para aquecimento programado, incremento lento primeira série.

- (.) Primeira repetição
- (o) Segunda repetição
- (A) Terceira repetição
- (Δ) Quarta repetição



Dos dados da TABELA 3 foram calcul**ados os valores médios** do logarítmo da porcentagem de sobreviventes para c**ada tem**peratura de tratamento, assim como as médias dos declives, obtendo-se a TABELA 4.

TABELA 4 - Média do Logarítimo da Porcentagem de Sobreviventes e Incremento de Temperatura dos Experimentos de Aquecimento Lento.

Amostra	Temperatura (°C)	Log & Sobreviventes	Incremento temperatura (°C/min)
1	47,3	2,0000	
2	53,8	1,8212	3,182
3	55, 7	0,6731	1,377
4	57,0	-0,2274	1,510
5	58,2	-1,1307	1,587
6	59,0	-2,3106	1,295

Os resultados para os 3 experimentos da segunda série com aquecimento lento estão apresentados na TABELA 5.

TABELA 5 - Dados de Sobreviventes para o Experimento Com Temperatura Programa da (aquecimento lento) - segunda série.

Amostra	Temperatura (°C)	Tempo (seg)	Sobreviventes (Nº/ml)	Incremento Temperatura (°C/min)
Primeira I	Repetição			
1	47,3	0	$164,6 \times 10^{7}$	• •
2	53,8	135	125×10^{7}	2,88
3	55,7	210	$40,5 \times 10^{7}$	1,52
4	57,0	263	41 $\times 10^6$	1,47
5	58,2	306	$40,6 \times 10^5$	1,67
6	59,0	348	$38,6 \times 10^4$	1,14
Segunda Re	epetição			
1	47,3	0	142×10^{7}	
4	53,8	124	$111,3 \times 10^{7}$	3,14
3	55, 7	197	53×10^7	1,56
4	57,0	248	46 $\times 10^6$	1,53
5	58,2	291	$81,5 \times 10^5$	1,67
6	59,0	328	43 $\times 10^4$	1,29
Terceira P	Repetição			
1	47,3	0	$230,6 \times 10^{7}$	• •
2	53,8	136	$122,3 \times 10^{7}$	2,86
3	55,7	214	$35,6 \times 10^{7}$	1,46
4	57,0	268	$90,3 \times 10^6$	1,44
5	58,2	314	202×10^5	1,56
6	59,0	351	$151,6 \times 10^4$	1,29

A FIGURA 7, mostra o logaritmo da porcentagem de sobrevieventes em função da temperatura, da segunda série de ensaios com aquecimento lento. Com dos dados da TABELA 5 calcularam-se os valores médios do logaritmo da porcentagem de sobreviventes para cada temperatura de tratamento, assim como as médias dos declives que são apresentados na TABELA 6.

FIGURA 7 .- Curva de sobreviventes para aquecimento programado, incremento lento segunda série

- (.) Primeira repetição
- (o) Segunda repetição
- (A) Terceira repetição

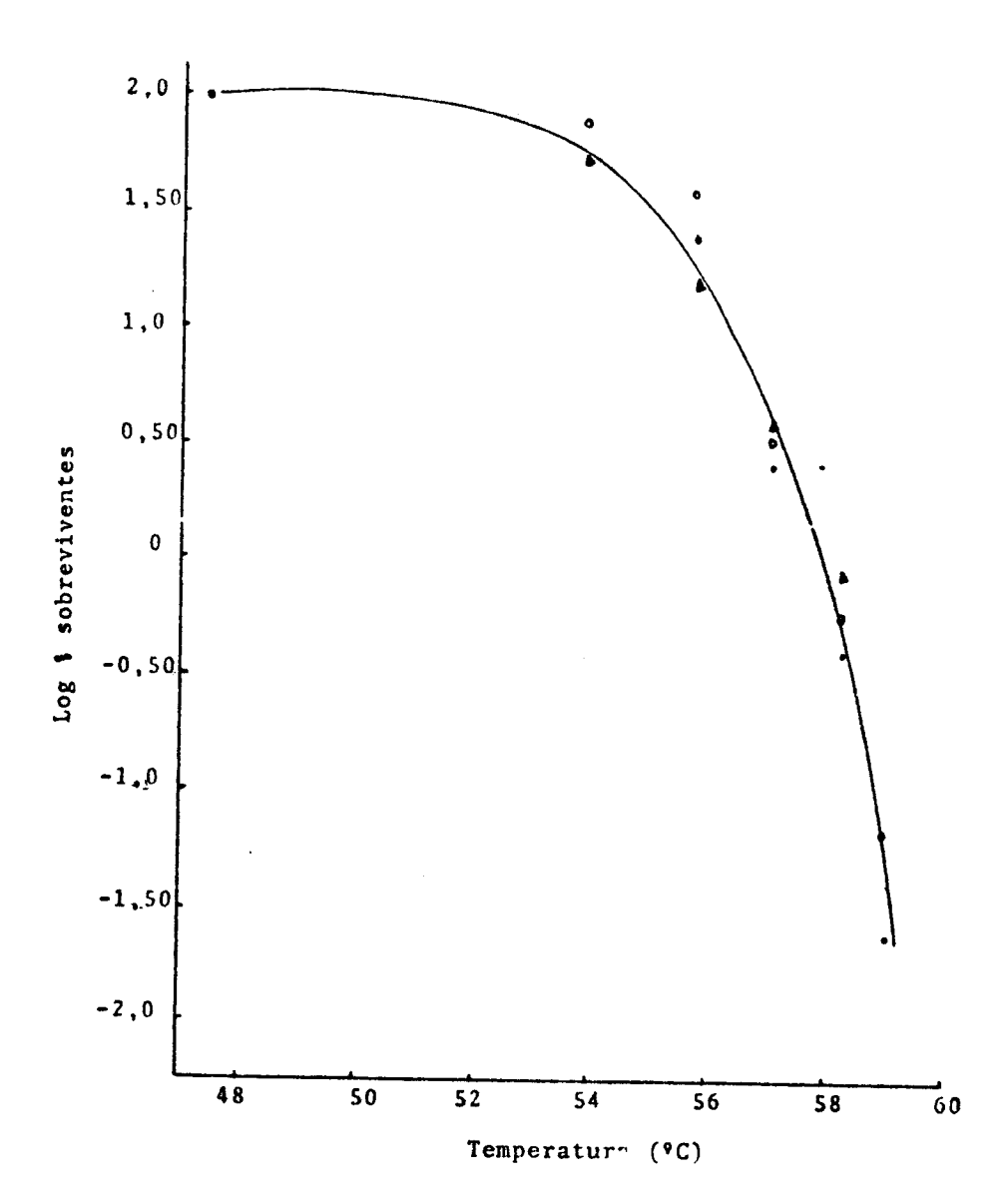


TABELA 6 - Médias do Logarítimo da Porcentagem de Sobreviventes e Incremento tos de Temperatura da Segunda Série de Ensaios com Aquecimento Programado Lento.

Amostra	Temperatura (°C)	Lo & Sobreviventes	Incremento Temperatura (°C/min)
1	47,3	2,0000	
2	53,8	1,8330	2,960
3	55,7	1,3837	1,513
4	57,0	0,4991	1,480
5	58,2	-0,3081	1,633
6	59,0	-1,4494	1,240

C. Resistência Térmica Avaliada pelo Método do Aque cimento a Temperatura Constante.

(1) Tratamento a 55°C.

Os resultados obtidos nos 3 experimentos feitos a 55°C estão apresentados na TABELA 7.

TABELA 7 - Dados de Sobreviventes no Tratamento a Temperatura Constante Conduzida a 55°C.

Amostra	Tempo (seg)	Repetição I	Repetição II	Repetição III
1	0	132 x 10 ⁷	277,6 x 10 ⁷	108 x 10 ⁷
2	240	169×10^6	148.3×10^6	119 x 10 ⁶
3	480	$62,6 \times 10^5$	74×10^5	$37,6 \times 10^5$
4	720	$129,3 \times 10^4$	*******	171×10^3
5	960	****	$170,3 \times 10^2$	

Os resultados obtidos nos 3 experimentos feitos a $60\,^{\circ}\text{C}$ estão apresentados na TABELA 8.

TABELA 8 - Dados de Sobreviventes no Tratamento a Temperatura Constante Conduzida a 60° C.

Amostra	Tempo (seg)	Repetição I	Repetição II	Repetição III
1	0	275 x 10 ⁷	30,8 x 10 ⁸	$38,3 \times 10^8$
2	40		266×10^{7}	264×10^7
3	80	143×10^5	$68,3 \times 10^6$	34×10^6
4	110	$231,3 \times 10^3$	179×10^4	$59,3 \times 10^4$
5	140	$120,6 \times 10^2$	$118,6 \times 10^3$	106×10^2

As FIGURAS 8 e 9 mostram os gráficos de sobreviventes obtidos quando os resultados dos ensáios com aquecimento a temperatura constante foram colocados em papel semi-logarítmico. Nestes gráficos, o logarítmo do número de sobreviventes foi locado em função do tempo.

FIGURA 8 .- Curvas de sobreviventes para aquecimento a temperatura constante, 55°C.

- (.) Primeira repetição
- (o) Segunda repetição
- (▲) Terceira repetição

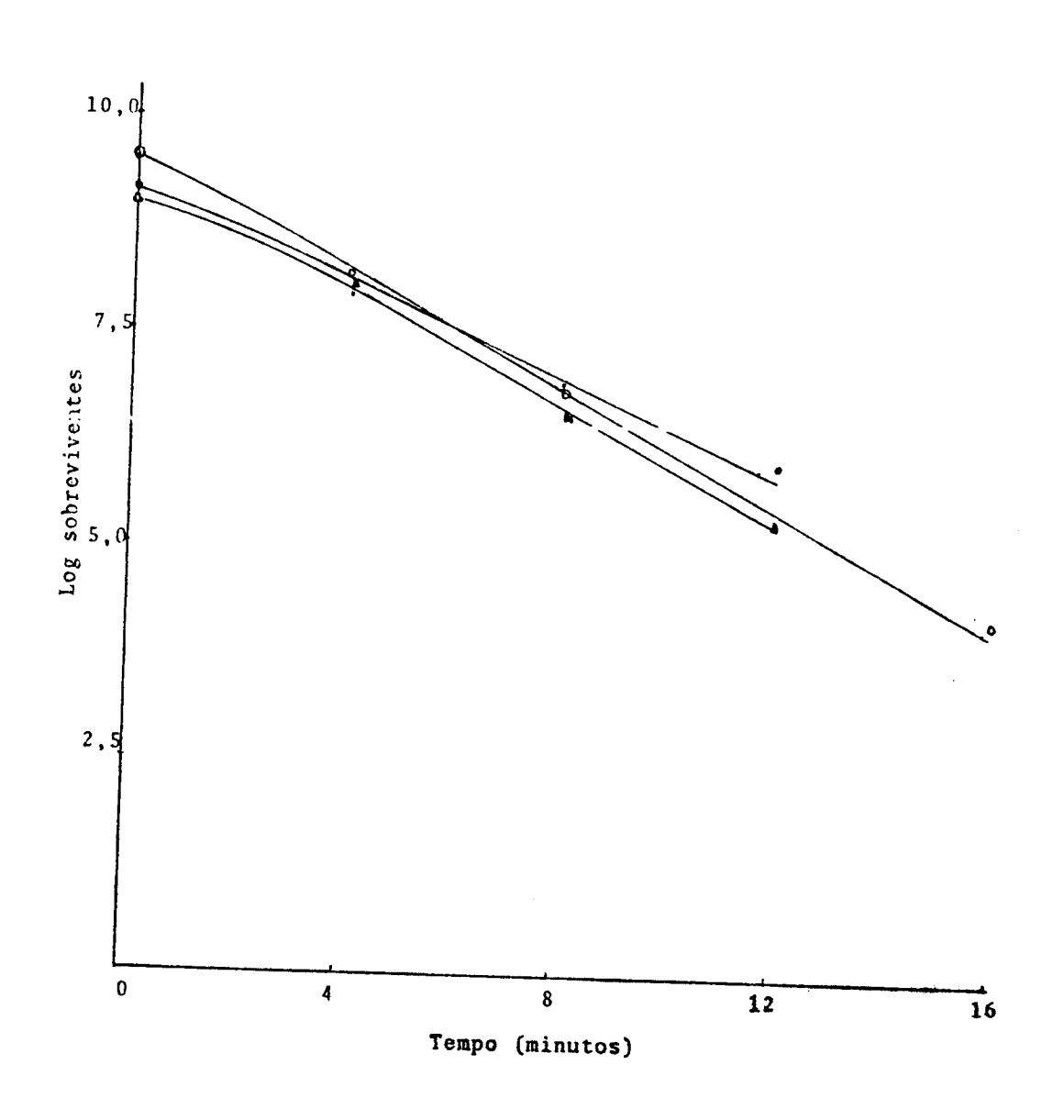
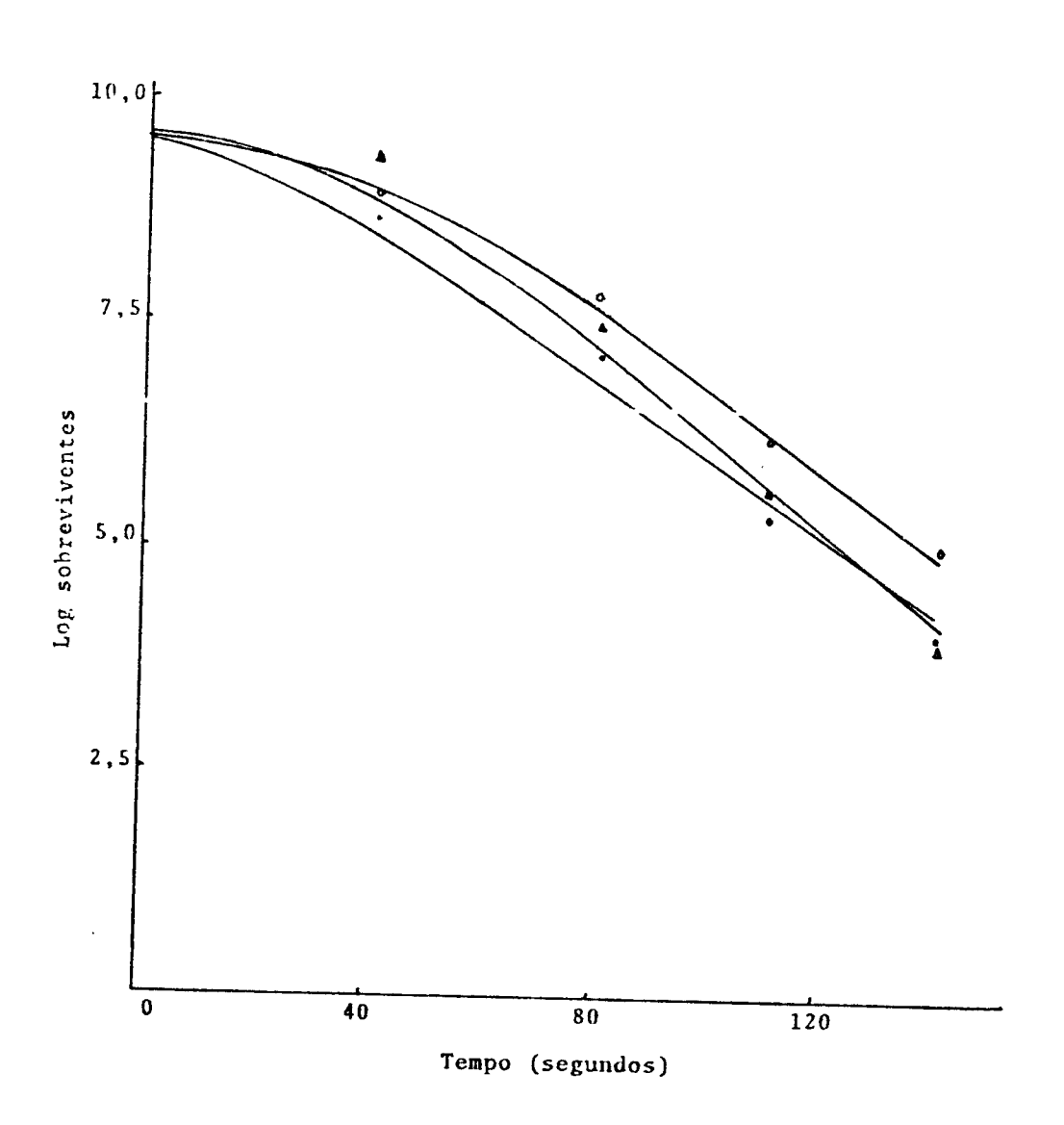


FIGURA 9 .- Curvas de sobreviventes para aquecimento a temperatura constante, 60°C.

- (.) Primeira repetição
- (o) Segunda repetição
- (A) Terceira repetição



Os valores Z e D calculados com os dados das tabelas 2,4, e 6 usando-se as equações de Hayakawa et. al (1969), mostram-se na TABELA 9.

Para o cálculo dos parâmetros nos ensaios de aquecimento rápido foi considerado o incremento de temperatura obedecendo a progressão retílinea e portanto usando as equações 1 e 2. Para o caso de ensaios de aquecimento lento o incremento de temperatura foi considerado como sendo em segmentos de reta e foram usa das as equações 3 e 4.

TABELA 9 - Valores dos Parâmetros de Resistência Térmica Determinados Para os Ensaios de Aquecimento Programado.

Temperatura Programada	Z (°C)	D ₅₅ (min)	D ₆₀ (min)	Observações
Aquecimento	5,20	3,57	0,39	Amostras,6,5,4,tabela 2
rápido	>10*			Amostras 5,4,3,tabela 2
	6,00	2,45	0,36	Amostras 4,3,2,tabela 2
Aquecimento	4,80	3,19	0,28	Amostras 6,5,4,tabela 4
lento	16,00*			Amostras 5,4,3,tabela 4
	4,75	3,01	0,29	Amostras 6,5,4,tabela 6
	16,00*			Amostras 5,4,3,tabela 6

^(*) Dados não recomendados para serem considerados nos cálculos dos parâmetros Z e D, segundo Hayakawa et al (1969).

Os valores D obtidos nos ensaios a temperatura constante (55° e 60°C), assim como as médias para ambos os casos, mostramse na TABELA 10.

TABELA 10 - Valores dos Parâmetros de Resistência Térmica Determinados Bara os Ensaios a Temperatura Constante.

Repetição	D ₅₅ (min)	D ₆₀ (min)	Z (°C)
1	3,2	0,35	
2	3,1	0,34	
3	3,0	0,30	
Média:	3,1	0,33	5,1

V- DISCUSSÃO

Os resultados de incremento de temperatura do banho, da pare de interna do tubo e do ponto crítico da suspensão, mostraram que a diferença de temperatura entre a do ponto crítico e da parede interna do tubo é inferior a 0,3°C, tanto para ensaios com aquecimento rápido como para com aquecimento lento, exceto nos primeiros 2 minutos de aquecimento. Isso evidencia que a distribuição uniforme de temperatura no tubo (condição a de Hayakawa et al. 1969) foi virtualmente conseguida nos ensaios. Também o incremento de temperatura foi praticamente linear em função do tempo.

O efeito da colocação de termelétricos no tubo sobre a forma de curva de aquecimento da suspensão foi reduzido ao mínimo, usan do-se um termelétrico fino (2 mm de diâmetro) e longo, deixando-se um espaço de mais de 50 mm entre a superfície livre do líquido e e ponto de inserção do mesmo. Com isso reduziu-se ao mínimo a condução de calor através do termelétrico.

Os valores de D e Z, obtidos pelo método de temperatura programada (tabela 9), foram praticamente iguais aqueles obtidos pelo método de temperatura constante (tabela 10). As diferenças dos valores de D e Z para esses dois métodos não foram superiores a 166. Isso mostra que o método de temperatura programada, proposto por Hayakawa et al. (1969), pode ser usado, também, para avaliação dos parâmetros de resistência térmica das células bacterianas.

As vantagens desse método sobre os "clássicos" consistem na simplicidade da aparelhagem de aquecimento, na rapidez e na menor quantidade de material e trabalho necessários para realizar os en saios.

Os resultados obtidos com ensaios de aquecimento rápido e lento (tabela 9) mostraram que o incremento de 1,4°C por minuto era mais adequado que aquele de 3,0°C por minuto. Além disso, as operações de amostragem, resfriamento e cronometragem eram mais fáceis quando se usava o aquecimento lento.

Desta forma, as condições limites de incremento de temperatura sugeridas por Hayakawa et al. (1969), de 4-5°F (2,2-2,7°C) por

minuto ou menos, são aplicaveis também para o caso de microrganis mos.

Por outro lado, os valores obtidos no presente trabalho para os parâmetros de resistência térmica, concordam com aqueles reportados na literatura. Thomas et al. (1966), por exemplo, encontraram valores D_{60} entre 2,01 - 3,28 minutos e valores Z entre 5,0 - 5,7°C para Staphylococcus aureus 196 E. Walker et al. (1966) obtiveram valores D_{60} entre 0,43 - 1,33 minutos.

VI- CONCLUSÕES

- 1. O método de aquecimento programado pode, também, ser usa do para avaliar os parâmetros de resistência térmica de células ve getativas. Os valores obtidos para os parâmetros D e Z pelo método de aquecimento programado concordaram com aqueles do aquecimento a temperatura constante.
- 2. O método é mais convenientemente aplicavel quando o incre mento de temperatura é de aproximadamente 2°C por minuto.

VII- BIBLIOGRAFIA

- American Can Campany. 1943. The Canned Food Reference Manual.

 American Can Co. New York.
- Ball, C.O. e Olson, F.C. 1957. Sterilization in Food Technology. McGraw-Hill Book. New York.
- Bigelow, W.D. e Esty, J.R. 1920. Thermal Death Point in Relation to Time of Typical Thermophilic Organisms. J. Infect.Diseases. 27,602.
- Collins, C.H. 1969. Métodos Microbiológicos. Editorial Acribia España
- Ecklund, O.F. 1949. Apparatus for the Measurement of the Rate of Heat Penetration in Canned Foods. Food Tech. 3,231.
- Halvorson, H.O. e Zeigler, N.R. 1932. Application of Statistics in Bacteriology. J. Bacteriol. 25,101.
- Hayakawa, K.I.; Schnell, P.G. e Kleyn, D.H. 1969. Estimating Thermal Death Time Characteristics of Thermally Vulnerable Factors by Programmed Heating of Sample Solution or Suspension. Food Tech 23,104.
- Hayakawa, K.I. 1971. Modernos Conceitos e Técnicas na Avaliação da Esterilização de Alimentos. Fundação Centro Tropical de Pesquisas e Tecnologia de Alimentos. Campinas.
- Levine, M.; Buchanan, J.H. e Lease, G. 1927. Effect of Concentration and Temperature on Germicidal Efficiency of Sodium Hydroxide.

 Iowa State Coll. J. Sci. 1,379.
- Resende, R.; Francis, F.J. e Stumbo, C.R. 1969. Thermal Destruction and Regeneration of Enzymes in Green Bean and Spinach puree. Food Tech. 23,63.

- Schmidt, C.F. 1950. A Method for Determination of the Resistence of Bacterial Spores. J. Bacteriol. 59,433.
- Stern, J.A. e Proctor, B.E. 1954. A micro-Method and Apparatus for the Multiple Determination of Rates of Destruction of Bacteria and Bacterial Spores Subjected to Heat. Food Tech.8,139.
- Stumbo, C.R. 1948. A Technique for Studying Resistence of Bacterial Spores to Temperatures in the Higher Range. Food Tech 2.228.
- Stumbo, C.R. 1965. Thermobacteriology in Food Processing. Academic press. New York.
- Thomas, C.T. White, J.C. e Longrée, K. 1966. Thermal Resistence of Salmonellae and Staphylococci in Foods. Appl. Microbiol. 14,815.
- Townsend, C.T. Somers, I.I., Lamb, F.C. e Olson, N.A. 1956. A Laboratory Manual for the Canning Industry. National Canners Association Research Laboratories. Washington, D.C.
- Walker, G.C.; e Harmon, L.G. 1966. Thermal Resistence of <u>Staphylococcus</u> aureus in milk, Whey and phosphate Buffer, Appl. Microbiol.14,584.
- Williams, C.C., Merrill, C.M. e Cameron, E.J. 1937. Apparatus for Determination of Spore-Destruction Rates. Food Res. 2,369.
- Yokoya, F e York, G.K. 1965. Effect of Seweral Environment on the Thermal Death Rate of Aerobic Thermophilic Bacteria. Appl. Microbiol 13,993.

VIII- APÊNDICE

a

Volume em ml da amostra tratada, no cálculo de sobreviventes pelo método do NMP.

a

População microbiana inicial por volume unitário, para o $c\bar{a}\underline{1}$ culo matemático do valor D.

$$a_1$$
, a_2 , a_3 , a_j , a_ℓ

Declives para o primeiro, segundo, terceiro, j e ℓ segmentos da curva de incremento de temperatura com aquecimento programado.

Ь

NMP de sobreviventes por m1 de suspensão tratada.

Concentração de sobreviventes para as amostras tiradas às respectivas combinações de tempo-temperatura $(t_1, T_1), \ldots, (t_\ell, T_\ell)$.

Dr

Tempo de redução decimal do fator termicamente vulnerável, à temperatura de referência.

n

Número total de amostras retiradas para cada tempo de trata mento a temperatura constante, no cálculo do número de sobre viventes pelo método do NMP.

9

Número de amostras de um mesmo tempo de tratamento a tempera tura constante, que não apresentaram crescimento e que se usa para o cálculo do número de sobreviventes pelo método do NMP.

t

Tempo de tratamento a temperatura constante, para o cálculo matemático de valor D.

Tr

Temperatura de referência.

T, T2, T3, T1-2, T1-1, T, Te-1, Te

Temperaturas das amostras quando retiradas a t_1 , t_2 , t_3 , t_{j-2} , t_j , $t_{\ell-1}$, t_{ℓ} .

Z

Índice de declive para a curva de destruição térmica.

AGRADECIMENTOS

Ao Professor Doutor Fumio Yokoya, pela orientação e dedica ção durante a realização deste trabalho.

À Direção da Faculdade de Tecnologia de Alimentos da Universidade Estadual de Campinas, pelas possibilidades oferecidas para o desenvolvimento desta tese.

A Organização dos Estados Americanos, pela concessão de bo<u>l</u> sa de estudo, através do Programa Multinacional de Tecnologia de Alimentos.

Aos amigos Humberto e Lucia Helena Pitoli, pelo trabalho de tradução do texto.

Ao pessoal do laboratório de Microbiologia da Faculdade de Tecnologia de Alimentos, pela sua colaboração nas experiências realizadas.